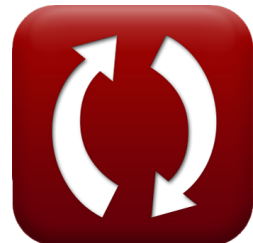


calculatoratoz.comunitsconverters.com

Liftdistributie Formules

[Rekenmachines!](#)[Voorbeelden!](#)[Conversies!](#)

Bladwijzer calculatoratoz.com, unitsconverters.com

Breedste dekking van rekenmachines en groeiend - **30.000+ rekenmachines!**

Bereken met een andere eenheid voor elke variabele - **In ingebouwde eenheidsconversie!**

Grootste verzameling maten en eenheden - **250+ metingen!**

DEEL dit document gerust met je vrienden!

[Laat hier uw feedback achter...](#)



Lijst van 30 Liftdistributie Formules

Liftdistributie ↗

Elliptische liftverdeling ↗

1) Beeldverhouding gegeven geïnduceerde aanvalshoek ↗

fx $AR_{ELD} = \frac{C_{L,ELD}}{\pi \cdot \alpha_i}$

[Rekenmachine openen ↗](#)

ex $2.470395 = \frac{1.49}{\pi \cdot 11^\circ}$

2) Beeldverhouding gegeven geïnduceerde weerstandscoëfficiënt ↗

fx $AR_{ELD} = \frac{C_{L,ELD}^2}{\pi \cdot C_{D,i,ELD}}$

[Rekenmachine openen ↗](#)

ex $2.453749 = \frac{(1.49)^2}{\pi \cdot 0.288}$

3) Circulatie bij Oorsprong gegeven Downwash ↗

fx $\Gamma_o = -2 \cdot w \cdot b$

[Rekenmachine openen ↗](#)

ex $14.04 \text{m}^2/\text{s} = -2 \cdot -3 \text{m/s} \cdot 2340 \text{mm}$



4) Circulatie bij oorsprong gegeven geïnduceerde aanvalshoek

fx $\Gamma_o = 2 \cdot b \cdot \alpha_i \cdot V_\infty$

[Rekenmachine openen !\[\]\(cbe80b694ebd74fcfe136a095b608235_img.jpg\)](#)

ex $13.92668 \text{m}^2/\text{s} = 2 \cdot 2340 \text{mm} \cdot 11^\circ \cdot 15.5 \text{m/s}$

5) Circulatie bij oorsprong gegeven Lift of Wing

fx $\Gamma_o = 4 \cdot \frac{F_L}{\rho_\infty \cdot V_\infty \cdot b \cdot \pi}$

[Rekenmachine openen !\[\]\(3e2231b1ad3ca8da8658228c00dd08e0_img.jpg\)](#)

ex $14.0074 \text{m}^2/\text{s} = 4 \cdot \frac{488.8 \text{N}}{1.225 \text{kg/m}^3 \cdot 15.5 \text{m/s} \cdot 2340 \text{mm} \cdot \pi}$

6) Circulatie bij oorsprong in elliptische liftdistributie

fx $\Gamma_o = 2 \cdot V_\infty \cdot S_0 \cdot \frac{C_l}{\pi \cdot b}$

[Rekenmachine openen !\[\]\(0d5ec72f61334709c3fc9450209b754f_img.jpg\)](#)

ex $13.97911 \text{m}^2/\text{s} = 2 \cdot 15.5 \text{m/s} \cdot 2.21 \text{m}^2 \cdot \frac{1.5}{\pi \cdot 2340 \text{mm}}$

7) Circulatie op gegeven afstand langs spanwijdte

fx $\Gamma = \Gamma_o \cdot \sqrt{1 - \left(2 \cdot \frac{a}{b}\right)^2}$

[Rekenmachine openen !\[\]\(b64b40baaee5acddc1eab8538ba84754_img.jpg\)](#)

ex $13.99862 \text{m}^2/\text{s} = 14 \text{m}^2/\text{s} \cdot \sqrt{1 - \left(2 \cdot \frac{16.4 \text{mm}}{2340 \text{mm}}\right)^2}$



8) Downwash in elliptische liftdistributie

fx $w = -\frac{\Gamma_o}{2 \cdot b}$

[Rekenmachine openen !\[\]\(e78f798d4ea5c530c9db49e7d26e6b95_img.jpg\)](#)

ex $-2.991453 \text{ m/s} = -\frac{14 \text{ m}^2/\text{s}}{2 \cdot 2340 \text{ mm}}$

9) Freestream-snelheid gegeven circulatie bij oorsprong

fx $V_\infty = \pi \cdot b \cdot \frac{\Gamma_o}{2 \cdot S_0 \cdot C_{L,ELD}}$

[Rekenmachine openen !\[\]\(05be7c7a8995decd503647c99211f7c2_img.jpg\)](#)

ex $15.62735 \text{ m/s} = \pi \cdot 2340 \text{ mm} \cdot \frac{14 \text{ m}^2/\text{s}}{2 \cdot 2.21 \text{ m}^2 \cdot 1.49}$

10) Freestream-snelheid gegeven geïnduceerde aanvalshoek

fx $V_\infty = \frac{\Gamma_o}{2 \cdot b \cdot \alpha_i}$

[Rekenmachine openen !\[\]\(fe3aebe81acea8d45108cd2768939da7_img.jpg\)](#)

ex $15.5816 \text{ m/s} = \frac{14 \text{ m}^2/\text{s}}{2 \cdot 2340 \text{ mm} \cdot 11^\circ}$

11) Geïnduceerde aanvalshoek gegeven beeldverhouding

fx $\alpha_i = \frac{C_l}{\pi \cdot AR_{ELD}}$

[Rekenmachine openen !\[\]\(899d8b7697d64725bf017d3296cfcf1b_img.jpg\)](#)

ex $11.03094^\circ = \frac{1.5}{\pi \cdot 2.48}$



12) Geïnduceerde aanvalshoek gegeven circulatie bij oorsprong

fx $\alpha_i = \frac{\Gamma_0}{2 \cdot b \cdot V_\infty}$

[Rekenmachine openen !\[\]\(e2376d476d06eb31946dc01a69a4403a_img.jpg\)](#)

ex $11.05791^\circ = \frac{14\text{m}^2/\text{s}}{2 \cdot 2340\text{mm} \cdot 15.5\text{m/s}}$

13) Geïnduceerde aanvalshoek gegeven downwash

fx $\alpha_i = -\left(\frac{w}{V_\infty} \right)$

[Rekenmachine openen !\[\]\(0b5e7e25e8775f7e7e80906ada4f0021_img.jpg\)](#)

ex $11.08951^\circ = -\left(\frac{-3\text{m/s}}{15.5\text{m/s}} \right)$

14) Geïnduceerde aanvalshoek gegeven liftcoëfficiënt

fx $\alpha_i = S_0 \cdot \frac{C_l}{\pi \cdot b^2}$

[Rekenmachine openen !\[\]\(bd3b31712ad9bab5a241210fa6925cdd_img.jpg\)](#)

ex $11.04141^\circ = 2.21\text{m}^2 \cdot \frac{1.5}{\pi \cdot (2340\text{mm})^2}$

15) Geïnduceerde weerstandscoëfficiënt gegeven beeldverhouding

fx $C_{D,i,ELD} = \frac{C_{L,ELD}^2}{\pi \cdot AR_{ELD}}$

[Rekenmachine openen !\[\]\(7bc43b319a082987e20f7bf78f4bab80_img.jpg\)](#)

ex $0.284952 = \frac{(1.49)^2}{\pi \cdot 2.48}$



16) Lift of Wing gegeven circulatie bij oorsprong ↗

fx $F_L = \frac{\pi \cdot \rho_\infty \cdot V_\infty \cdot b \cdot \Gamma_0}{4}$

Rekenmachine openen ↗

ex $488.5416N = \frac{\pi \cdot 1.225\text{kg/m}^3 \cdot 15.5\text{m/s} \cdot 2340\text{mm} \cdot 14\text{m}^2/\text{s}}{4}$

17) Lift op gegeven afstand langs spanwijdte ↗

fx $L = \rho_\infty \cdot V_\infty \cdot \Gamma_0 \cdot \sqrt{1 - \left(2 \cdot \frac{a}{b}\right)^2}$

Rekenmachine openen ↗**ex**

$$265.7989N = 1.225\text{kg/m}^3 \cdot 15.5\text{m/s} \cdot 14\text{m}^2/\text{s} \cdot \sqrt{1 - \left(2 \cdot \frac{16.4\text{mm}}{2340\text{mm}}\right)^2}$$

18) Liftcoëfficiënt gegeven circulatie bij oorsprong ↗

fx $C_{L,ELD} = \pi \cdot b \cdot \frac{\Gamma_0}{2 \cdot V_\infty \cdot S_0}$

Rekenmachine openen ↗

ex $1.502242 = \pi \cdot 2340\text{mm} \cdot \frac{14\text{m}^2/\text{s}}{2 \cdot 15.5\text{m/s} \cdot 2.21\text{m}^2}$

19) Liftcoëfficiënt gegeven geïnduceerde aanvalshoek ↗

fx $C_{L,ELD} = \pi \cdot \alpha_i \cdot AR_{ELD}$

Rekenmachine openen ↗

ex $1.495793 = \pi \cdot 11^\circ \cdot 2.48$



20) Liftcoëfficiënt gegeven geïnduceerde weerstandscoëfficiënt ↗

fx $C_{L,ELD} = \sqrt{\pi \cdot AR_{ELD} \cdot C_{D,i,ELD}}$

[Rekenmachine openen ↗](#)

ex $1.497949 = \sqrt{\pi \cdot 2.48 \cdot 0.288}$

Algemene liftdistributie ↗

21) Beeldverhouding gegeven geïnduceerde weerstandsfactor ↗

fx $AR_{GLD} = \frac{(1 + \delta) \cdot C_{L,GLD}^2}{\pi \cdot C_{D,i,GLD}}$

[Rekenmachine openen ↗](#)

ex $15.04641 = \frac{(1 + 0.05) \cdot (1.47)^2}{\pi \cdot 0.048}$

22) Bereik efficiëntiefactor ↗

fx $e_{span} = (1 + \delta)^{-1}$

[Rekenmachine openen ↗](#)

ex $0.952381 = (1 + 0.05)^{-1}$



23) Geïnduceerde lifthellingfactor gegeven liftcurvehelling van eindige vleugel ↗

fx $\tau_{FW} = \frac{\pi \cdot AR_{GLD} \cdot \left(\frac{a_0}{a_{C,1}} - 1 \right)}{a_0} - 1$

[Rekenmachine openen ↗](#)

ex $0.002313 = \frac{\pi \cdot 15 \cdot \left(\frac{6.28\text{rad}^{-1}}{5.54\text{rad}^{-1}} - 1 \right)}{6.28\text{rad}^{-1}} - 1$

24) Geïnduceerde weerstandscoëfficiënt gegeven geïnduceerde weerstandsfactor ↗

fx $C_{D,i,GLD} = \frac{(1 + \delta) \cdot C_{L,GLD}^2}{\pi \cdot AR_{GLD}}$

[Rekenmachine openen ↗](#)

ex $0.048149 = \frac{(1 + 0.05) \cdot (1.47)^2}{\pi \cdot 15}$

25) Geïnduceerde weerstandscoëfficiënt gegeven Span Efficiency Factor ↗

fx $C_{D,i,GLD} = \frac{C_{L,GLD}^2}{\pi \cdot e_{span} \cdot AR_{GLD}}$

[Rekenmachine openen ↗](#)

ex $0.048269 = \frac{(1.47)^2}{\pi \cdot 0.95 \cdot 15}$



26) Geïnduceerde weerstandsfactor gegeven geïnduceerde weerstandscoëfficiënt ↗

fx
$$\delta = \frac{\pi \cdot AR_{GLD} \cdot C_{D,i,GLD}}{C_{L,GLD}^2} - 1$$

[Rekenmachine openen ↗](#)

ex
$$0.046761 = \frac{\pi \cdot 15 \cdot 0.048}{(1.47)^2} - 1$$

27) Geïnduceerde weerstandsfactor gegeven spanefficiëntiefactor ↗

fx
$$\delta = e_{span}^{-1} - 1$$

[Rekenmachine openen ↗](#)

ex
$$0.052632 = (0.95)^{-1} - 1$$

28) Hefcoëfficiënt gegeven geïnduceerde weerstandsfactor ↗

fx
$$C_{L,GLD} = \sqrt{\frac{\pi \cdot AR_{GLD} \cdot C_{D,i,GLD}}{1 + \delta}}$$

[Rekenmachine openen ↗](#)

ex
$$1.467731 = \sqrt{\frac{\pi \cdot 15 \cdot 0.048}{1 + 0.05}}$$

29) Hefcoëfficiënt gegeven Span Efficiency Factor ↗

fx
$$C_{L,GLD} = \sqrt{\pi \cdot e_{span} \cdot AR_{GLD} \cdot C_{D,i,GLD}}$$

[Rekenmachine openen ↗](#)

ex
$$1.465895 = \sqrt{\pi \cdot 0.95 \cdot 15 \cdot 0.048}$$



30) Span-efficiëntiefactor gegeven geïnduceerde luchtweerstandscoëfficiënt



$$e_{\text{span}} = \frac{C_{L,\text{GLD}}^2}{\pi \cdot AR_{\text{GLD}} \cdot C_{D,i,\text{GLD}}}$$

 Rekenmachine openen

$$0.955328 = \frac{(1.47)^2}{\pi \cdot 15 \cdot 0.048}$$



Variabelen gebruikt

- **a** Afstand van centrum tot punt (*Millimeter*)
- **a_0** Helling van de 2D-liftcurve (*1 / Radian*)
- **$a_{C,I}$** Hefcurvehelling (*1 / Radian*)
- **AR_{ELD}** Vleugelbeeldverhouding ELD
- **AR_{GLD}** Vleugelbeeldverhouding GLD
- **b** Spanwijdte (*Millimeter*)
- **$C_{D,i,ELD}$** Geïnduceerde weerstandscoëfficiënt ELD
- **$C_{D,i,GLD}$** Geïnduceerde weerstandscoëfficiënt GLD
- **C_l** Liftcoëfficiënt Oorsprong
- **C_L,ELD** Liftcoëfficiënt ELD
- **C_L,GLD** Liftcoëfficiënt GLD
- **e_{span}** Span-efficiëntiefactor
- **F_L** Hefkracht (*Newton*)
- **L** Op afstand tillen (*Newton*)
- **S_0** Referentiegebied Herkomst (*Plein Meter*)
- **V_∞** Freestream-snelheid (*Meter per seconde*)
- **w** Spoelen (*Meter per seconde*)
- **α_i** Geïnduceerde aanvalshoek (*Graad*)
- **Γ** Circulatie (*Vierkante meter per seconde*)
- **Γ_o** Circulatie bij oorsprong (*Vierkante meter per seconde*)
- **δ** Geïnduceerde weerstandsfactor



- ρ_∞ Freestream-dichtheid (*Kilogram per kubieke meter*)
- T_{FW} Geïnduceerde lifthellingfactor van eindige vleugel



Constanten, functies, gebruikte metingen

- **Constante:** pi, 3.14159265358979323846264338327950288
Archimedes' constant
- **Functie:** sqrt, sqrt(Number)
Square root function
- **Meting:** Lengte in Millimeter (mm)
Lengte Eenheidsconversie 
- **Meting:** Gebied in Plein Meter (m^2)
Gebied Eenheidsconversie 
- **Meting:** Snelheid in Meter per seconde (m/s)
Snelheid Eenheidsconversie 
- **Meting:** Kracht in Newton (N)
Kracht Eenheidsconversie 
- **Meting:** Hoek in Graad ($^\circ$)
Hoek Eenheidsconversie 
- **Meting:** Dikte in Kilogram per kubieke meter (kg/m^3)
Dikte Eenheidsconversie 
- **Meting:** Momentum diffusie in Vierkante meter per seconde (m^2/s)
Momentum diffusie Eenheidsconversie 
- **Meting:** Wederzijdse hoek in 1 / Radian (rad^{-1})
Wederzijdse hoek Eenheidsconversie 



Controleer andere formulelijsten

- Stroom- en liftdistributie Formules 
- Liftdistributie Formules 

DEEL dit document gerust met je vrienden!

PDF Beschikbaar in

[English](#) [Spanish](#) [French](#) [German](#) [Russian](#) [Italian](#) [Portuguese](#) [Polish](#) [Dutch](#)

12/19/2023 | 6:55:49 AM UTC

[Laat hier uw feedback achter...](#)

